

1. Atome jenseits Helium - Vielelektronensysteme

1.1. Kurze Wiederholung Wasserstoff

Aus Lösung der 3d Schrödinger-Gleichung mit Coulombs-Potential $V = -\frac{Ze^2}{r}$

NB: ab jetzt $e^2 = 1.44 \text{ eV nm} = 1.44 \text{ keV fm}$ (esu)
verhalt Wellenfunktionen und Energieniveaus

$$E_n = -\frac{1}{n^2} \frac{m_e c^2 Z^2 e^4}{2(\hbar c)^2} = -\frac{1}{n^2} \underbrace{\frac{m_e c^2 \alpha^2}{2}}_{E_0 = 13.605698 \text{ eV}} Z^2$$

mit $\alpha = \frac{e^2}{\hbar c}$

Rydberg-Energie

Rydberg-Energie Ry im Lehrbuch Seinster aber in vielen Büchern wird dieses Symbol verwendet für $\frac{E_0}{\hbar c} = 1.0973732 \cdot 10^7 \text{ m}^{-1} = Ry = Ry_\infty$

Rydberg-Konstante zur Beschreibung von Spektren

NB: - Massen dieses Semesters immer in Form von $m_e c^2$

also $m_e c^2 = 511 \text{ keV}$

- auch \hbar nicht alleine, sondern immer $\hbar c = 1240 \text{ eV nm}$ oder meistens $\hbar c = 197 \text{ eV nm} = 197 \text{ keV fm}$

Energieniveaus Wasserstoff $E_n = -\frac{1}{n^2} E_0 \quad Z = 1$

Fig. 1.1

3 Quantenzahlen n, l, m_l Wellenfunktion heißt

von allen 3 ab, Energieniveaus nur von n

für Radial- und Winkelanteil der Wellenfunktion
siehe \Rightarrow Fig 1.2, 1.3 | Bohrradius $a_0 = \frac{(hc)^2}{m_e c^2 e^2} = 0.0529 \text{ nm}$

- Spektrum $\frac{1}{\lambda} = \frac{E_0}{hc} \left(\frac{1}{m^2} - \frac{1}{n^2} \right)$ Auswahlregel $\Delta l = \pm 1$
genauere Messung: $R_{H+}^{Ry} = \frac{R_{H\infty}^{Ry}}{1 + me/m_p}$ für opt. Übergänge
Beim Zuwang reduziert Klasse
- Elektron hat Spin $s = 1/2$ 2 Orientierungen $m_s = \pm \frac{1}{2}$ up down
Spin-Bahnkopplung \rightarrow Feinstrukturaufspaltung im Spektrum, totaler Drehimpuls \vec{J} durch vektorielle Kopplung von \vec{L} und \vec{s}
Quantenzahlen j, m_j
Feinstrukturaufspaltung der Niveaus mit $j = l + 1/2$ und $j = l - 1/2$
 $\Delta E_{FS} = \frac{Z^2 \alpha^2}{n^2} \left(\frac{n}{j + 1/2} - \frac{3}{4} \right) E_n$ Sommerfeld
 $E_{nj} = E_n + \Delta E_{FS}$ Feinstrukturformel
(auschließlich relativistische Effekte)

- außerdem:
Lambshift quantenelchrodynamischer Effekt (WW des Elektrons mit dem Vakuum) hebt perfekte Entartung von $2s_{1/2}$ und $2p_{1/2}$ Niveaus auf $4.375 \cdot 10^{-6} \text{ eV}$ genereller $\ell = j \pm 1/2$ und

Hyperfeinstrukturaufspaltung
WW des Kernspins mit mag. Moment des Elektrons $\Delta E_{HFS} \propto \vec{I} \cdot \vec{J}$

1.2. Kurze Wiederholung Helium

Zu Systemen mit mehr als 1 Elektron aufz^oft Coulomb
WW dr Elektronen (repulsion) berücksichtigt
werden, reduziert Bindung Abschätzung:

$$\circ E_{gs} \approx -2z^2E_0 + \frac{5}{4}zE_0 \approx -74.8 \text{ eV}$$

augenrechte Rastände näherungsweise

$$E = -E_0 \left(z^2 + \frac{(z-1)^2}{n_e^2} \right) \text{ für 1 El in } n=1, 1 \text{ El in } n_2$$

kleine analytische Lösung der Schrödinger-
gleichung, nur numerisch, da über räumliche
Verteilung dr Elektronen integriert werden
muß (was ab bereits Lösung, also Wellen-
funktionen voraussetzt).

Lösung durch Variationsprinzip (Ritz)
da es kein normiertes $\tilde{\Psi}$ gibt, so daß
 $\langle \tilde{\Psi} | \hat{H} | \tilde{\Psi} \rangle < E_0$ → fidele Lösung durch
Minimierung dr Energieigenw. H

des weiteren:

Symmetrisierung dr Wellenfunktion
Elektronen sind Fermionen, totale Wellenfunktion aufz^oft antisymmetrisch bezüglich Ver-
tauschung sein

enthielt Pauliprinzip = jeder durch einen Satz
dr Quantenzahlen eindeutig identifiziert Zu-
stand kann nur von 1 Elektron (Fermion)
besetzt sein

- Produkt aus Orts- und Spinanteil der WF umß antisym. sein
Kopplung der Bahndrehimpulse der beiden Elektronen zu totalen Bahndrehimpuls \vec{L}
 $\vec{L} = \sum_{i=1}^N \vec{l}_i$ für He $\vec{L} = \vec{l}_1 + \vec{l}_2$

Kopplung der Spins s_i zu totalen Spin $\vec{S} = \sum_{i=1}^N \vec{s}_i$
für 2 $s = \frac{1}{2}$ Elektronen 2 Möglichkeiten für Spinwellenfunktion

Symmetrisches Triplet $S=1$ $S_z = 1, 0, -1$
 $\chi_s = \uparrow\uparrow$
 $\frac{1}{\sqrt{2}} (\uparrow\downarrow + \downarrow\uparrow)$ Kurz für $\frac{1}{\sqrt{2}} (\chi_1(\frac{1}{2}, \frac{1}{2}) \chi_2(\frac{1}{2}, -\frac{1}{2}) + \chi_1(\frac{1}{2}, -\frac{1}{2}) \chi_2(\frac{1}{2}, \frac{1}{2}))$
 $\downarrow\downarrow$

antisymmetrisches Singlett $S=0$ $S_z = 0$
 $\chi_{as} = \frac{1}{\sqrt{2}} (\uparrow\downarrow - \downarrow\uparrow)$

für sym. Spinwellenfunktion umß Ortsteil antisym. sein und umgekehrt

- Grundzustand: beide Elektronen im 1-s Zustand
 \rightarrow nur $S=0$ antisym. Singlett für Spin möglich
 1^1S_0 -Zustand
Homonukleatur $n^{2S+1} L_J$
- augenfälligste Zustände: 2 Termsysteme
Zustände mit $S=0$ "Parahelium"
und mit $S=1$ "Orthohelium"

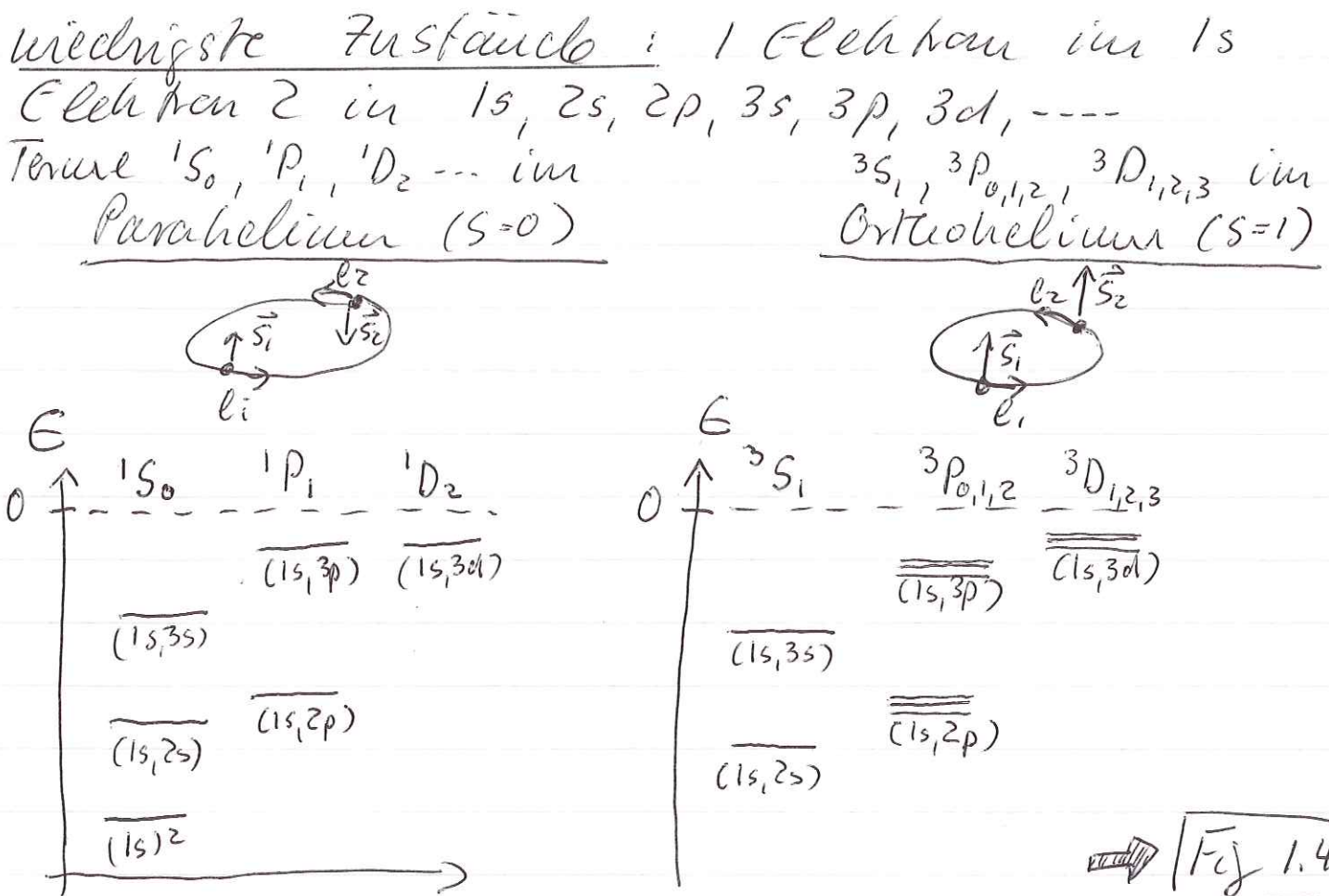


Fig 1.4

nach Pauli muss es kein $(1s)^2$ im Orthohelium sein stärker gebunden als P, da genügend Abschirmung vorhanden.

- Energien der Singulett-Terme deutlich höher als die der entsprechenden Triplett-Terme, da Coulombabstößung der beiden Elektronen unterschiedlich

2^3S_1 hat antisym. Ortswellenfunktion

$$\Psi_{as}(\vec{r}) = \frac{1}{\sqrt{2}} (\psi_1(1s)\psi_2(2s) - \psi_1(2s)\psi_2(1s))$$

2^1S_0 hat sym. Ortswellenfunktion, die auch bei $\vec{r}_1 = \vec{r}_2$ nicht verschwindet \rightarrow größere Coulombabstößung $\langle V_{ee} \rangle = \frac{e^2}{\langle r_{12} \rangle}$

$$2^1S_0 \quad \text{---} \quad \uparrow 0.78 \text{ eV} \quad 2^3S_1$$

• Heliumspektrum

alle erlaubten Übergänge zwischen Energie-
niveaus E_i und E_k

Auswahlregeln: $\Delta L = \pm 1$ $\Delta M_L = 0, \pm 1$ $\Delta S = 0$
 $\Delta J = 0, \pm 1$ (außer $0 \rightarrow 0$ verboten)

Spektren von Überjägler zwischen Singulett-
Zuständen viel weniger Linien als Spektren
zwischen Triplett-Zuständen \Rightarrow Fig. 1.5

ursprünglich geglaubt, es gäbe 2 Heliumarten

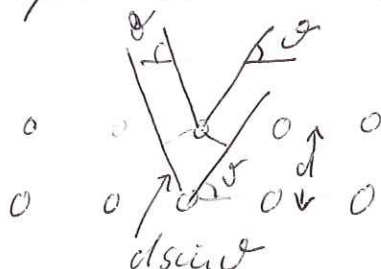
1.3. Vielelektronensysteme

Bereits 1913 systematische Studie der Röntgenspektren aller bekannten Elemente von Al bis Au durch Henry Moseley

Bombardierung der Elemente mit energischen Elektronen (Kathodenstrahlröhre)

Messung der Röntgenenergie bzw. Wellenlänge durch Bragg-Sierung KFe Cyanid Kristall

Gedankenexperiment Bragg: Röntgenstrahlen einer best. Wellenlänge werden von Kristall reflektiert wenn Einfallswinkel der "Bragg-Bedingung" entspricht $n\lambda = 2d \sin \theta$ W.L. Bragg 1912



erstes Spektrometer zum Test
der Bragg-Bedingung von
Vater, William Henry Bragg, gebaut

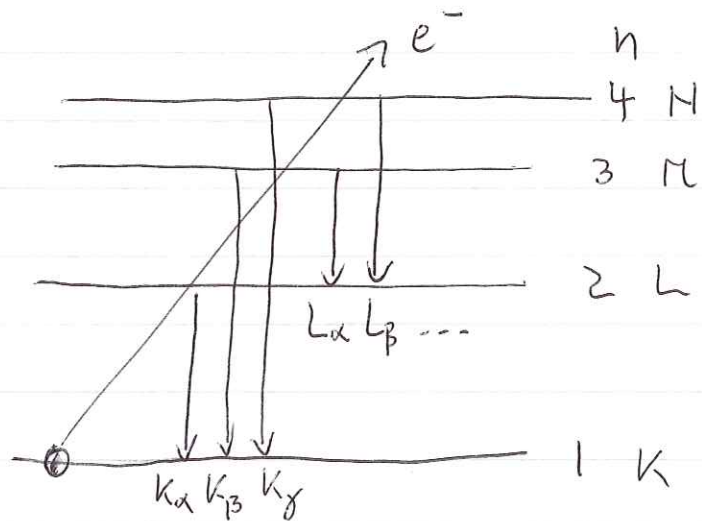
Kennzeichnung von Gitterkonstante und genauer Wellenlängenmessung \rightarrow Wellenlänge der Röntgenstrahlen

Moseley findet für jedes Element 2 charakteristische Röntgenlinien K_{α} und K_{β} , für schwerere Elemente 5 zusätzliche $L_{\alpha, \beta, \gamma, \delta, \epsilon}$

- Klassifizierung der Daten: durch jeden Element die Ordnungszahl Z zu, dann V gegen Z auf linearer Zusammenhang

 Fig. 1.6

$$V = a(Z - b)^2$$



K_{α} : Elektron fällt von $2p_{3/2}$ nach $1s_{1/2}$

* van den Broek, Aufang
1913: Ordnungszahl ist $A/2$
und Ladung des Kernes
Nov 1913: Z nicht immer $A/2$,
unabhängige Zahlen, aber Z
ist Ladungszahl des Kernes

Moseley findet $V_{K_{\alpha}} = \frac{3}{4} c R_y (Z-1)^2$

Grenzenung Lösung Schrödinger-Gl. H ergibt Spektren

$$\frac{1}{\lambda} = \frac{V}{c} = R_y Z^2 \left(\frac{1}{n^2} - \frac{1}{m^2} \right) \sim V_{K_{\alpha}} = \frac{3}{4} c R_y Z^2$$

aus Vergleich: effektives Z_{eff} für K-Linien $Z-1$
Abschirmung Kernladung durch verbliebenes
1s-Elektron, b ist Abschirmkonstante, a unabh-
scheidlich für $K_{\alpha}, K_{\beta}, \dots$

$$\text{für } Z \geq 40 \text{ L-Linien } b \approx 7.4 \quad a \approx \frac{5}{36} = \left(\frac{1}{4} - \frac{1}{9} \right)$$

2 El. in K-Schale, 7 in L-Schale

Schlußfolgerung Roseley: Atomtheorie, in der Kern von Elektronen in Quantenzuständen umgeben ist, ist korrekt (Bohr)

Z ist Protonenzahl im Kern, Schlußfolgerung auf noch nicht entdeckte Elemente mit z.B. $Z = 43, 61, 75 \rightarrow$ später entdeckt, kein stabiles Isotop von $Z=43 \rightarrow$ Harte Technetium

1.4. Schaleaustruktur und Periodensystem d. Elemente

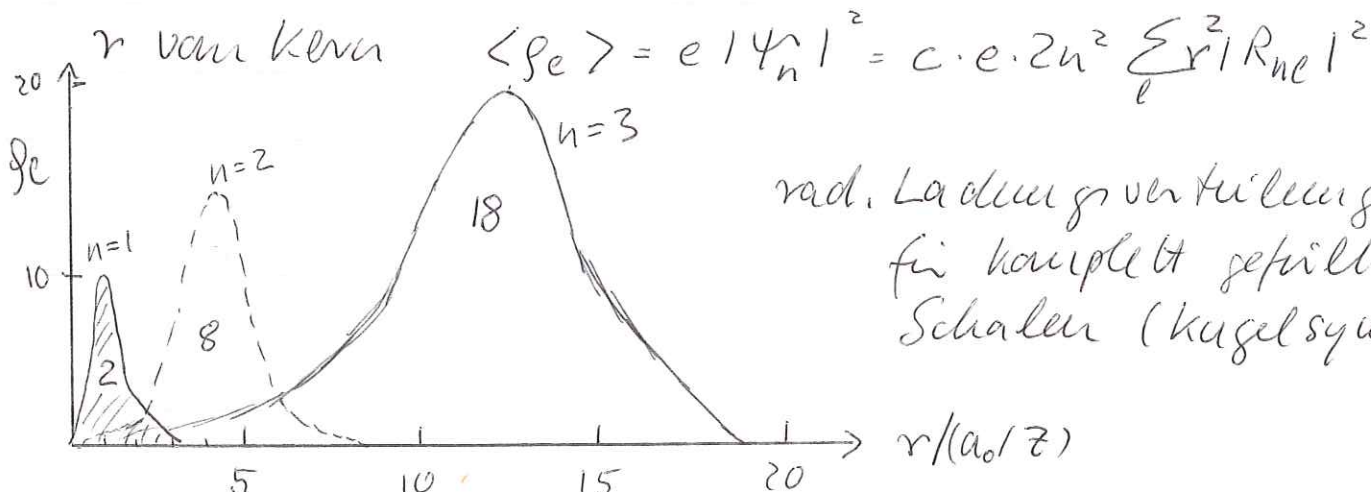
Wegen unterschiedlicher Abschirmung d. Kernladung
Aufspaltung d. Subniveaus zu jeder Hauptquantenzahl n . Betrachte zunächst Grundzustandskonfigurationen: dem Pauli-Prinzip folgend, werden Subniveaus sukzessive aufgefüllt

totale Gitarkebung einer Schale

$$\text{m}_s\text{-SubN.} \quad 2 \sum_{l=0}^{n-1} (2l+1) = 2n^2$$

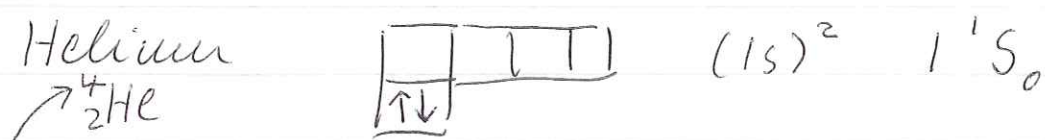
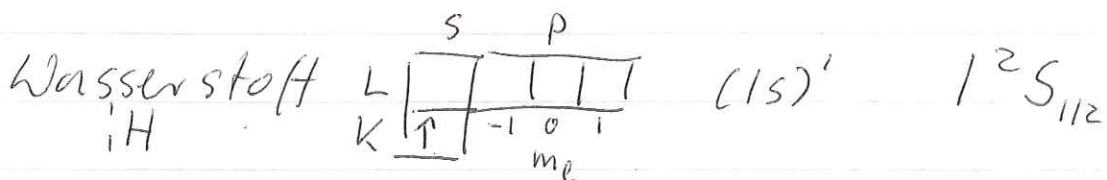
me Subniveaus

zeitlich gewichtete räumliche Verteilung einer ganz gefüllten Schale: kugelsymmetrisch, Summation über $\sum_{l,m} Y_{lm} e^{i k_r r}$, Maxima bei best. Abständen

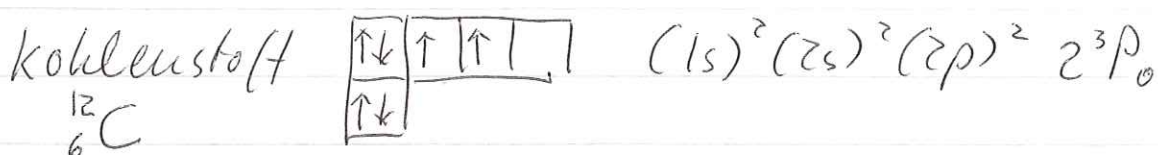
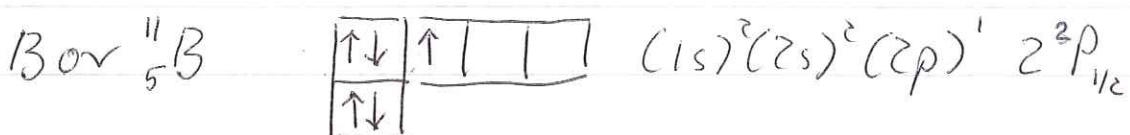
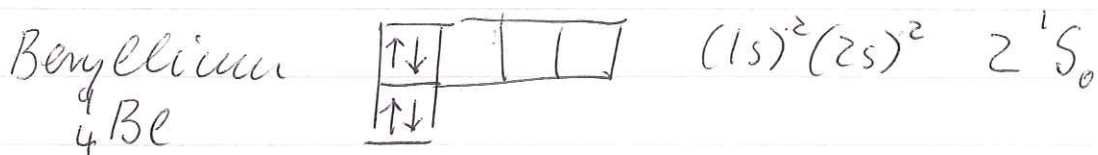
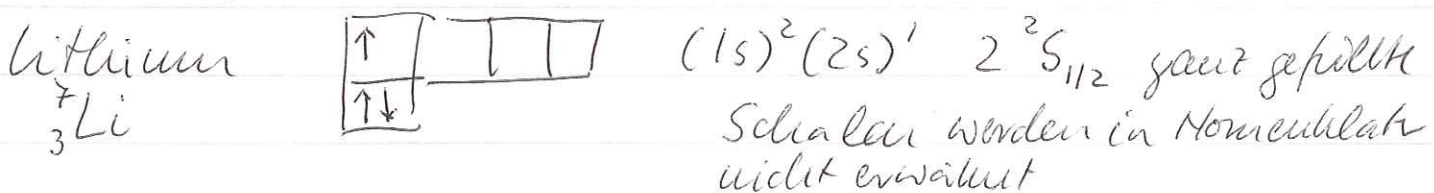


Nomenklatur: $n=1$ K-Schale } je n Unter-
 2 L- schalen
 3 M- $\ell=0, \dots, n-1$
 4 N-
 5 O-

Sukzessive Auffüllung (prinzipiell kugelL)



Massenzahl häufigstes Isotop



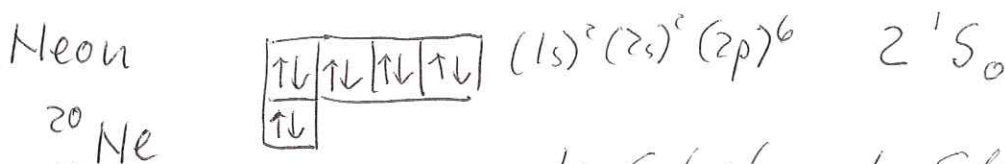
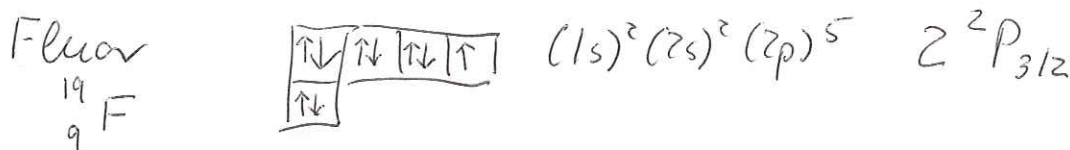
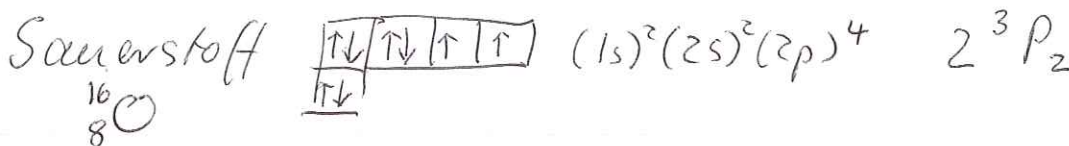
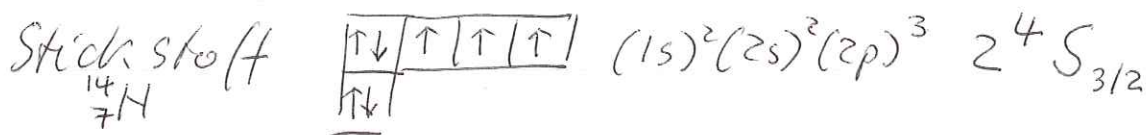
Wie werden Unterschalen gefüllt? Hund'sche Regeln
(empirisch für Grundzustand - energetisch Minimum)
nach Friedrich Hund 1896-1997, bedeutende
Beiträge zur Entwicklung d. Quanten- & Atomphysik

1. Hund'sche Regel: Zustand mit max möglichen Spin hat niedrigste Energie (1925)
(haben wir bei He bereits aus antisym. räumlicher Verteilung und kleiner Coulombrepulsion d. Elektronen erklärt)

2. Hund'sche Regel: die m_f -Unterzustände werden bei max. Spin so besetzt, daß L maximal wird
(verschiedene m_f -Unterzustände haben größere räumliche Separation \Rightarrow Min. Coulombrepulsion)

3. Hund'sche Regel: ist eine Unterschale halbgestaut bis zur Hälfte gefüllt, dann ist der Zustand mit minimalen J der niedrigste, bei mehr als halbvoller Schale der mit max. J .

dazu f. Kohlenstoff Grundzustand 2^3P_0 (oben)
weiter im Periodensystem

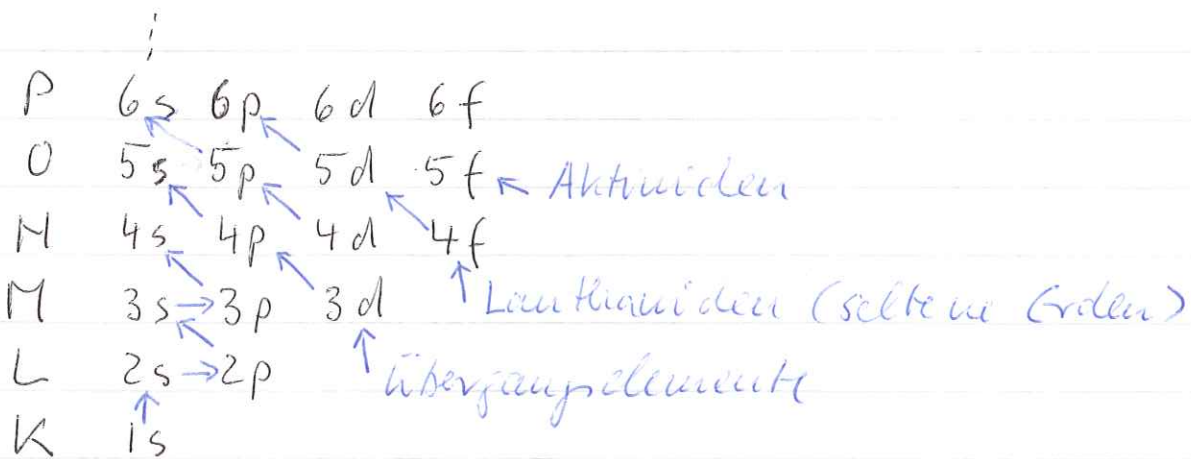


K-Schale + L-Schale voll

Natrium $_{11}^{23}\text{Na}$ 1s - Elektron in 3s, beginn N-Schall

Wir gelten es weiter? \rightarrow Fig. I.7 se für Na
beachtete $1s^2 2s^2 2p^6$ -Rumpf. In der Tat wird
nach $3p$ -Unterschale zunächst $4s$ gefüllt,
dann $3d$, dann $4p$. S-Elektronen sehen wenige
Abschirmung der Kernladung. ${}^{39}_{19}K (1s)^2 (2s)^2 (2p)^6 (3s)^2 (3p)^6 4s^1$

Füllen der Unterschalen:



mit der Schalenstruktur periodische Eigenschaften
z.B. Atomradien: metallische oder kovalente Radien
aus Röntgenanalyse von Kristallstrukturen oder
Halbmetalle kurze Abstände. Für nicht gebundene
(chemisch) Edelgase aus Dichte
Radien nehmen innerhalb einer Gruppe zu, da inner
weit außen liegende Schalen berücksichtigt werden (siehe
z.B. Alkalimetalle). Innerhalb einer Periode
nehmen sie ab (neue neue Schale, ab immer
höhere Kernladung)

$$\text{Foulsierungenergien } E_{\text{ion}} = \int_{r_n}^{\infty} \frac{Z_{\text{eff}} e^2}{r^2} dr - E_{\text{kin}}$$

$$E_{\text{ion}} = \frac{1}{2} \frac{Z_{\text{eff}} e^2}{\langle r_n \rangle} \approx \frac{E_0 Z_{\text{eff}}^2}{n^2} \quad (\text{wenn wir annehmen weise Bohrradius einsetzen}) \quad r_n = \frac{(h c)^2 n^2}{m_e c^2 Z e^2}$$

Foussien og energiil max fr. Edelgase. Gært gefüllte Schale besonders stabil. Nurmal fi Alkali-metalle, geben aussentes 1s-Elektron besonders leicht ab. Sprünge nach gefüllt Schale.

- Periodensystem der bekannten Elemente \Rightarrow [Fig 1-10]
Von $Z=1$ bis $Z=118$!

das schwerste in der Natur vorkommende ist $^{94}_{40}\text{Pu}$ (aus Kernwaffenversuchen, fast ausschließlich) sonst wäre es $^{238}_{92}\text{U}$. Die 26 Elemente jenseits werden nur künstlich hergestellt und leben vernehrend kurz. bis $Z=100$ in Reaktoren, jenseit nur den Beschleunigern

$^{118}_{294}\text{Uuo}$ [Ru] $5f^{14} 6d^{10} 7s^2 7p^6$ volle Schale $t_{1/2} = 0.89\text{ ms}$

- Was steht bei jedem Element? z.B. $^{3}_{3}\text{Li}$

Ordnungszahl \nearrow Name

wie ist Masse zu verstehen?

- es gibt typischerweise mehrere Isotope*
z.B. $^{6}_{3}\text{Li}$ 7.6% $^{7}_{3}\text{Li}$ 92.4% Atome mit gleichem Z aber unterschiedl. der Neutronenzahl im Kern stehen daher an gleichen Plak im Periodensystem
- mittlere Massenzahl ist 6.924, also Differenz zu Atommasse $0.017\text{ u} \approx 15.8\text{ MeV}$ weniger als Masse in a
- [atomare Masseneinheit, $1u = \frac{1}{12}$ der Masse eines ^{12}C -Atoms $\approx 931.5\text{ MeV/c}^2$]

d.h. Li ist über beide Isotope gesamt 15.8 MeV weniger gebunden als ^{12}C . Bindung macht Kern und damit Atom leichter! "Massendefekt"

Elektronen in den äussersten unbesetzten Schale;
 Valenzelektronen → bestimmen die chemischen
 Eigenschaften.

Periodensystem von Meyer und Mendelejew
 1868-1871 1. Periodensystem

- 1. Gruppe 1 s Elektron ausserhalb geschl. Schale
 Alkalimetalle nicht gebunden, großer Radius, sehr reaktiv
- 8. Gruppe (Edelgase) geschl. Schale, große Ionisierungsenergie, reagieren chemisch nicht
- 7. Gruppe (Halogenen) ein Elektron fehlt per abgeschl. Schale, große Elektronegativität (-affinität) nehmen in chem. Bindung einen Elektron auf
 z.B. von Alkaliatomen

IIIB ... IIB (seltene Erden) selbe Anzahl Elektronen in äusserer Schale ($4s^2$), nur 3d wird aufgefüllt, chemisch relativ ähnlich